

**В. Г. Перепелица**, А. Н. Коломиец, Л. Д. Шматовский

## Особенности напряженного состояния горного массива в процессе проведения выработки

(Представлено академиком НАН Украины А. Ф. Булатом)

*В рамках механики упруго-деформированного тела разработана методика и решена задача о напряженном состоянии горного массива в окрестности горизонтальной цилиндрической выработки. Численными методами выявлено значительную концентрацию растягивающих напряжений в зоне ведения горных работ.*

При проходке выработок в зоне ведения горных работ наблюдается повышенная концентрация напряжений. Последнее, как выясняется [1], зачастую предстает в качестве фактора, существенно влияющего на устойчивость горных выработок. Вместе с тем следует отметить, что исследование закономерностей распределения напряжений и разработкой способов использования проявлений горного давления в технологической схеме проведения и крепления контура выработок практически никто не занимался. Ниже речь пойдет о разработке методики и решении пространственных задач механики горных пород для массива с горизонтальной цилиндрической выработкой, торец (забой) которой подвигается в осевом направлении с некоторой скоростью  $v$ .

**Постановка задачи.** Рассмотрим напряженно-деформированное состояние массива горных пород, вмещающего горизонтальную цилиндрическую выработку радиусом  $h$ , забой которой  $\bar{z} = \bar{a}$  подвигается с некоторой скоростью  $v$  в положительном направлении оси выработки  $\bar{z}$  (рис. 1).

В процессе решения задачи будем пользоваться цилиндрической системой координат  $(\bar{r}, \theta_1, \bar{z})$ , начало которой  $\bar{r}, \bar{z} = 0$  возьмем на удалении  $a \gg h$  с тем, чтобы исключить влияние забоя выработки на характер поля напряжений в плоскости  $\bar{z} = 0$ .

Учитывая тот факт, что в окрестности выработки  $\bar{r} \leq 7,2$  м наблюдается искусственная трещиноватость хаотической ориентировки, процесс деформирования породного массива, как показано в [2], может рассматриваться в рамках изотропного упруго-деформируемого твердого тела.

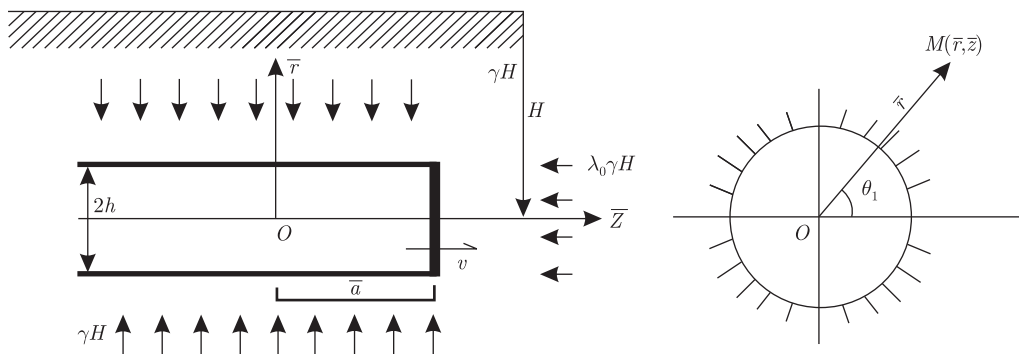


Рис. 1

Напряженное состояние горного массива при проведении выработки определяется соотношениями

$$\sigma_r = \sigma_{rr} - \gamma H; \quad \sigma_\theta = \sigma_{\theta\theta} - \gamma H; \quad \sigma_z = \sigma_{zz} - \lambda_0 \gamma H; \quad \tau_{rz} = \sigma_{rz}, \quad (1)$$

где  $\gamma H$  — начальные, а  $\sigma_{rr}$ ,  $\sigma_{\theta\theta}$ ,  $\sigma_{zz}$  и  $\sigma_{rz}$  — дополнительные нормальные и касательные напряжения, обусловленные образованием полости в массиве горных пород;  $H$  — расстояние от земной поверхности до оси выработки;  $\gamma$  — объемный вес толщи горных пород;  $\lambda_0$  — коэффициент осевого давления.

Так как изменением начальных напряжений по высоте выработки можно пренебречь, то при отсутствии крепи полные напряжения на контуре и забое выработки равны нулю.

Тогда граничные условия на контуре и забое выработки запишутся следующим образом:

$$\text{при } \bar{r} = h; \quad \bar{z} \leq \bar{a}; \quad \sigma_{rr} = \gamma H; \quad \sigma_{rz} = 0; \quad (2)$$

$$\text{при } \bar{z} = \bar{a}; \quad 0 \leq \bar{r} \leq h; \quad \sigma_{zz} = \lambda_0 \gamma H; \quad \sigma_{rz} = 0. \quad (3)$$

Задача состоит в определении и исследовании напряженного состояния углепородного массива с целью выявления основополагающих закономерностей, обеспечивающих эффективное и безопасное проведение горных выработок.

Исследования будем осуществлять, введя подвижную систему координат  $(r, z)$ , которая связана с неподвижной системой известным преобразованием Галилея  $z = (\bar{z} - vt)h^{-1}$ ;  $r = \bar{r}h^{-1}$ .

В этом случае уравнения динамического равновесия массива горных пород примут вид:

$$\left[ \frac{\partial^2}{\partial r^2} + \frac{1}{r} \frac{\partial}{\partial r} - \frac{1}{r^2} + \bar{\beta}_1^2 \frac{\partial^2}{\partial z^2} \right] U_r + \frac{1}{2(1-\nu)} \frac{\partial^2}{\partial r \partial z} U_z = 0; \quad (4)$$

$$\frac{\partial}{\partial z} \left( \frac{\partial}{\partial r} + \frac{1}{r} \right) U_r + (1-2\nu) \left( \frac{\partial^2}{\partial r^2} + \frac{1}{r} + \bar{\beta}_2^2 \frac{\partial^2}{\partial z^2} \right) U_z = 0,$$

где  $U_r$  и  $U_z$  — компоненты вектора перемещений соответственно в направлениях относительных координат  $r$  и  $z$ ;  $\nu$  — коэффициент Пуассона;

$$\bar{\beta}_1^2 = \frac{1-2\nu}{2(1-\nu)} - k_1^2; \quad \bar{\beta}_2^2 = \frac{2(1-\nu)}{1-2\nu} - k_2^2; \quad k_1^2 = \frac{\rho \nu^2 (1+\nu)(1-2\nu)}{(1-\nu)E}; \quad k_2^2 = \frac{(1-\nu)k_1^2}{2};$$

$E$  — модуль Юнга;  $\rho$  — плотность.

**Решение уравнений динамического равновесия.** Чтобы обеспечить достаточный функциональный произвол для удовлетворения условий на контуре (2) и поверхности забоя (3) выработки, решение системы уравнений (4) будем искать в форме

$$U_r = \frac{\partial \varphi}{\partial r} - \frac{b - \lambda c}{1 - \lambda b} \frac{\partial \psi}{\partial z}; \quad U_z = \left[ \frac{a - c}{1 - \lambda a} + 2(1 - \nu) \frac{b}{1 - \lambda b} \right] \left( \frac{\partial}{\partial r} + \frac{1}{r} \right) \psi - \frac{\partial \varphi}{\partial z}, \quad (5)$$

где  $\varphi(r, z)$  и  $\psi(r, z)$  — некоторые функции;  $\lambda, a, b, c$  — произвольные постоянные.

Полагая

$$c = \{ \beta_2^2 a (1 - \lambda b) + [2(1 - \nu) \beta_2^2 - 1] b \} [ \beta_2^2 (1 - \lambda b) - \lambda (1 - \lambda a) ]^{-1},$$

находим

$$\begin{aligned}
 b &= [a_0 \pm \sqrt{a_0^2 - b_0}] / 2\lambda \{2(1 - \nu)[1 + \beta_2^2 \bar{\beta}_1^2 (1 - \lambda a)] - \beta_1^2\}; \\
 a_0 &= [\beta_2^2 - \lambda(1 - \lambda a)] \{2(1 - \nu) \bar{\beta}_1^2 - \lambda a [2(1 - \nu) \bar{\beta}_1^2 - \beta_1^2]\} - \\
 &\quad - [\lambda(1 - \lambda a) - 1][2(1 - \nu) - \lambda a - \beta_1^2]; \\
 b_0 &= 4\lambda^2 a(1 - \lambda a)(1 - \beta_1^2) \{2(1 - \nu)[1 + \bar{\beta}_1^2 \beta_2^2 (1 - \lambda a) - \beta_1^2]\}.
 \end{aligned} \tag{6}$$

Внося соотношения (5) в (4) и учитывая (6), получим дифференциальные уравнения относительно искомых функций  $\varphi(r, z)$  и  $\psi(r, z)$ :

$$L_{11} \left( \frac{\partial \varphi}{\partial r} + \omega_1 L_{12} \frac{\partial \psi}{\partial z} \right) = 0; \quad L_{21} \left[ 2\nu \frac{\partial \varphi}{\partial z} + \omega_2 \left( \frac{\partial}{\partial r} + \frac{1}{r} \right) \psi \right] = 0,$$

где

$$\begin{aligned}
 L_{11} &= \frac{\partial^2}{\partial r^2} + \frac{1}{r} \frac{\partial}{\partial r} - \frac{1}{r^2} - \beta_1^2 \frac{\partial^2}{\partial z^2}; & L_{12} &= \frac{\partial^2}{\partial r^2} + \frac{1}{r} \frac{\partial}{\partial r} - \beta_2^2 \frac{\partial^2}{\partial z^2}; \\
 \beta_1^2 &= \frac{\nu}{1 - \nu} + k_1^2; & \beta_2^2 &= \frac{1 - \nu}{\nu} - \frac{1 - 2\nu}{\nu} k_2^2.
 \end{aligned}$$

Определив функции  $\varphi(r, z)$  и  $\psi(r, z)$ , а затем возвратившись к формулам (5) и полагая  $\lambda = \lambda_n$ ,  $a = a_n$  ( $n = 1, 2$ ), аналитические зависимости для компонент вектора перемещений представим в таком виде:

$$\begin{aligned}
 U_r &= -\frac{1}{\pi} \sum_{n=1}^2 \int_0^\infty \{ [A_{1n}(\alpha) \omega_{3n} J_1(\alpha \beta_1 r) + A_{2n}(\alpha) \omega_{4n} J_1(\alpha \beta_2 r) + \\
 &\quad + (B_{1n}(\alpha) \omega_{3n} - B_{2n}(\alpha) \omega_{4n}) J_1(\alpha \beta_{3n} r)] \cos \alpha z - [C_{1n}(\alpha) \omega_{3n} J_1(\alpha \beta_1 r) - \\
 &\quad - C_{2n}(\alpha) \omega_{4n} J_1(\alpha \beta_2 r) + (D_{1n}(\alpha) \omega_{3n} + D_{2n}(\alpha) \omega_{4n}) J_1(\alpha \beta_{3n} r)] \sin \alpha z \} d\alpha; \\
 U_z &= \frac{1}{\pi} \sum_{n=1}^2 \int_0^\infty \{ [A_{1n}(\alpha) \omega_{5n} J_0(\alpha \beta_1 r) - A_{2n}(\alpha) \omega_{6n} J_0(\alpha \beta_2 r) + \\
 &\quad + \alpha (B_{1n}(\alpha) - \beta_{3n} \omega_{7n} B_{2n}(\alpha)) J_0(\alpha \beta_{3n} r)] \sin \alpha z + [C_{1n}(\alpha) \omega_{5n} J_0(\alpha \beta_1 r) + \\
 &\quad + C_{2n}(\alpha) \omega_{6n} J_0(\alpha \beta_2 r) + \alpha (D_{1n}(\alpha) + \beta_{3n} \omega_{7n} D_{2n}(\alpha)) J_0(\alpha \beta_{3n} r)] \cos \alpha z \} d\alpha,
 \end{aligned} \tag{7}$$

где  $A_{mn}(\alpha)$  и  $B_{mn}(\alpha)$ ,  $C_{mn}(\alpha)$  и  $D_{mn}(\alpha)$  ( $m, n = 1, 2$ ) — произвольные функции аргумента  $\alpha$ ;  $J_n(\alpha \beta_n r)$  — функции Бесселя первого рода,  $\beta_{3n}^2 = 2\nu \omega_{1n} / \omega_{2n}$ ;  $\omega_{1n} / \omega_{2n} > 0$ .

Аналитические зависимости для компонент тензора напряжений получаем при помощи формул (7), воспользовавшись соотношениями закона Гука [3].

Для реальных горных пород значения параметров  $k_1$  и  $k_2$  в аргументах функций Бесселя  $k_1^2 \approx 1,04 \cdot 10^{-7} v^2$ ;  $k_2^2 \approx 1,62 \cdot 10^{-7} v^2$ .

Следовательно, скорость образования обнажений  $v$  при ведении горных работ может оказывать существенное влияние лишь при значении  $v \geq 10^3$  м/с, т.е. при проведении выработок взрывным способом или при вывалообразовании.

**Вывод и решение интегральных уравнений.** Принимая во внимание произвол в выборе функций  $A_{mn}(\alpha)$  и  $B_{mn}(\alpha)$ ,  $C_{mn}(\alpha)$  и  $\bar{D}_{mn}(\alpha)$  ( $m, n = 1, 2$ ), положим

$$\begin{aligned} A_{nn}(\alpha) &= (-1)^n A_n(\alpha) \cos \alpha a; & C_{nn}(\alpha) &= A_n(\alpha) \sin \alpha a; \\ B_{11}(\alpha) &= B_{21}(\alpha) = C_{21}(\alpha) = \bar{D}_{21}(\alpha) = 0; \\ A_{mn}(\alpha) &= (-1)^{n-1} A_n(\alpha) \frac{\bar{\sigma}_{zz}^{(nn)}}{\bar{\sigma}_{zz}^{(mn)}} \cos \alpha a; & C_{mn}(\alpha) &= -A_n(\alpha) \frac{\bar{\sigma}_{zz}^{(nn)}}{\bar{\sigma}_{zz}^{(mn)}} \sin \alpha a, \end{aligned} \quad (8)$$

где  $A_n(\alpha)$  ( $n = 1, 2$ ) — некоторые функции аргумента  $\alpha$ .

Внося полученные таким образом выражения компонент тензора напряжений  $\sigma_{zz}$ ,  $\sigma_{rz}$  и  $\sigma_{rr}$  в условия на поверхности забоя (3) и на контуре выработки (2), приходим к следующей системе интегральных уравнений:

$$\begin{aligned} &\int_0^\infty \alpha^2 \{ \bar{D}_{22}(\alpha) \cos \alpha a - B_{22}(\alpha) \sin \alpha a \} J_1(\alpha \beta_{32} r) d\alpha = 0, & r < 1, 0; \\ &\int_0^\infty \alpha^2 \{ (B_{22}(\alpha) \bar{\sigma}_{zz}^{(42)} + B_{12}(\alpha) \bar{\sigma}_{zz}^{(32)}) \cos \alpha a + (\bar{D}_{22}(\alpha) \bar{\sigma}_{zz}^{(42)} - \bar{D}_{12}(\alpha) \bar{\sigma}_{zz}^{(32)}) \sin \alpha a \} \times \\ &\quad \times J_0(\alpha \beta_{32} r) d\alpha = -\lambda_0 \gamma H \frac{\pi}{q_0}, & z < 1, 0; \\ &\int_0^\infty \{ [A_1(\alpha) \gamma_{31} \cos \alpha a + A_2(\alpha) \gamma_{41} \cos \alpha a - B_{12}(\alpha) \bar{\sigma}_{rr}^{(32)} - B_{22}(\alpha) \bar{\sigma}_{rr}^{(42)}] \cos \alpha z - \\ &\quad - [A_1(\alpha) \gamma_{31} \sin \alpha a + A_2(\alpha) \gamma_{41} \sin \alpha a + \bar{D}_{12}(\alpha) \bar{\sigma}_{rr}^{(32)} + \bar{D}_{22}(\alpha) \bar{\sigma}_{rr}^{(42)}] \times \\ &\quad \times \sin \alpha z \} d\alpha = \gamma H, & r = 1; \quad z < a; \\ &\int_0^\infty \alpha \{ [A_1(\alpha) \gamma_{11} \cos \alpha a + A_2(\alpha) \gamma_{21} \cos \alpha a - B_{22}(\alpha) \bar{\sigma}_{rz}^{(42)}] \sin \alpha z + \\ &\quad + [A_1(\alpha) \gamma_{11} \sin \alpha a - A_2(\alpha) \gamma_{21} \sin \alpha a + \bar{D}_{22}(\alpha) \bar{\sigma}_{rz}^{(42)}] \cos \alpha z \} d\alpha = 0, \\ &r = 1; & z < a. \end{aligned} \quad (9)$$

Полагая

$$\begin{aligned} B_{22}(\alpha) &= \bar{B}_{22}(\alpha) \sin \alpha a + \bar{D}_{22}(\alpha) \cos \alpha a - \left( \lambda_{10} \sin \frac{\alpha-1}{2} \alpha + \lambda_{20}(\alpha) \cos \frac{\alpha-1}{2} \alpha \right) B_0(\alpha); \\ \bar{D}_{22}(\alpha) &= \bar{D}_{22}(\alpha) \sin \alpha a - \bar{B}_{22}(\alpha) \cos \alpha a + \left( \lambda_{10} \cos \frac{\alpha-1}{2} \alpha - \lambda_{20}(\alpha) \sin \frac{\alpha-1}{2} \alpha \right) \bar{D}_0(\alpha); \\ B_{12}(\alpha) &= \bar{D}_{12}(\alpha) \sin \alpha a - \bar{B}_{12}(\alpha) \cos \alpha a; & \bar{D}_{12}(\alpha) &= \bar{B}_{12}(\alpha) \sin \alpha a + \bar{D}_{12}(\alpha) \cos \alpha a, \end{aligned} \quad (10)$$

где  $\bar{B}_{mn}(\alpha)$  и  $\bar{D}_{mn}(\alpha)$ ,  $B_0(\alpha)$  и  $\bar{D}_0(\alpha)$  — вспомогательные функции аргумента  $\alpha$ ,  $\lambda_{10}$ ,  $\lambda_{20}$ ,  $\lambda_3$  — некоторые константы, и учитывая свойства функций Бесселя [4], в результате элементар-

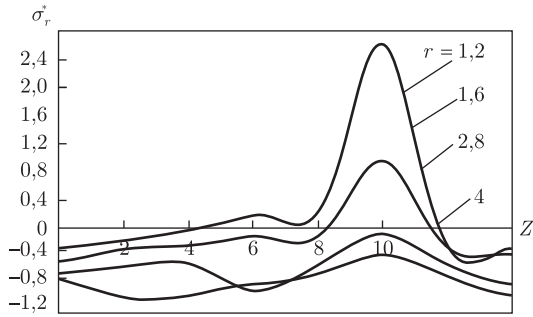


Рис. 2

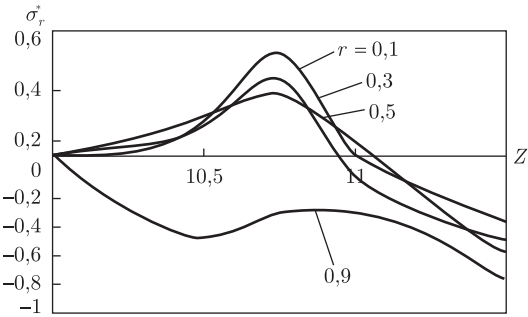


Рис. 3

ных, но громоздких преобразований система уравнений (9) сводится к двум интегральным уравнениям

$$\int_0^{\infty} \left\{ \int_0^1 \chi(\xi) \sin(\alpha\beta_{32}\xi) d\xi \right\} J_1(\alpha\beta_{32}\xi) d\xi = -\lambda_0\beta_{32}\gamma Hr \frac{\pi}{2q_0},$$

$$\int_0^{\infty} \left\{ \int_0^a \chi_1(\xi) \sin \alpha\xi d\xi \right\} \frac{\sin \alpha z}{\alpha} d\alpha = \frac{\pi}{q_0} \gamma H,$$

решение которых, как известно [5, 6], имеет вид  $\chi(r) = -2\lambda_0\gamma Hr\beta_{32}^2/q_0$

$$\chi_1(z) = -\frac{2}{\pi q_0} \gamma H \frac{d}{dz} \int_z^a \frac{dt}{\sqrt{t^2 - z^2}} \frac{d}{dt} \int_0^t \frac{\xi^2}{\sqrt{t^2 - \xi^2}} d\xi = 2\gamma H q_0^{-1} z (a^2 - z^2)^{-1/2}.$$

Подставив найденные выражения (10) в (8) и возвращаясь к формулам для компонент вектора перемещений (7), а затем и тензора напряжений, решение рассматриваемой задачи получим в виде интегралов Фурье.

Численные исследования были выполнены для породного массива с коэффициентом Пуассона  $\nu = 0,2$  при  $a = 10$ . На рис. 2, 3 показано распределение относительных радиальных  $\sigma_r^* = \sigma_r/\gamma H$  и осевых  $\sigma_z^* = \sigma_z/\gamma H$ , где по вертикальной оси откладывались значения напряжений  $\sigma_r^*$  и  $\sigma_z^*$  в зависимости от  $r$  и  $z$ .

Как видно, вблизи забоя выработки  $z = a$  радиальные  $\sigma_r$  и осевые  $\sigma_z$  напряжения являются знакопеременными функциями, а вне зоны влияния забоя имеют место только сжимающие радиальные и осевые напряжения.

Таким образом, в процессе ведения проходческих работ в окрестности забоя выработки повсеместно возникает зона растягивающих напряжений, что может привести к образованию магистральных трещин, разделению массива на части, снижению взаимодействия между частями целого, потере способности противодействия горному давлению и, как следствие, к провоцированию процесса вывалообразования в полость выработки.

1. Гузь А. Н. Основы теории устойчивости горных выработок. – Киев: Наук. думка, 1977. – 204 с.
2. Руппенейт К. В. Деформируемость массивов трещиноватых горных пород. – Москва: Недра, 1975. – 224 с.
3. Ляв А. Математическая теория упругости. – Москва; Ленинград: ОНТИ НКТП СССР, 1935. – 674 с.

4. Градштейн И. С., Рыжик И. М. Таблицы интегралов, сумм, рядов и произведений. – Москва: Наука, 1971. – 1180 с.
5. Забрейко П. П. и др. Интегральные уравнения. – Москва: Наука, 1968. – 448 с.
6. Уфлянд Я. С. Интегральные преобразования в задачах теории упругости. – Ленинград: Наука, 1967. – 402 с.

*Институт геотехнической механики  
им. Н. С. Полякова НАН Украины, Днепропетровск*

*Поступило в редакцию 04.06.2011*

**В. Г. Перепелиця, О. М. Коломієць, Л. Д. Шматовський**

### **Особливості напруженого стану гірського масиву в процесі проведення виробки**

*У рамках механіки пружно-деформованого тіла розроблена методика та розв'язана задача про напружений стан гірського масиву навколо горизонтальної циліндричної виробки. Чисельними дослідженнями виявлено значну концентрацію розтягуючих напружень у зоні ведення гірничих робіт.*

**V. G. Perepelitsa, A. N. Kolomiets, L. D. Shmatovskiy**

### **Peculiarities of the stressed state of a rock massif under conducting the mining working**

*A method of research of the stressed state of a rock massif near the horizontal cylindrical working is developed, and a task of the mechanics of elastodeformed bodies is solved. A considerable concentration of tensile stresses in the mining working zone is revealed by numerical calculations.*